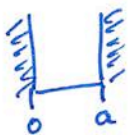


Lösung Nr. 1

Erinnerung:

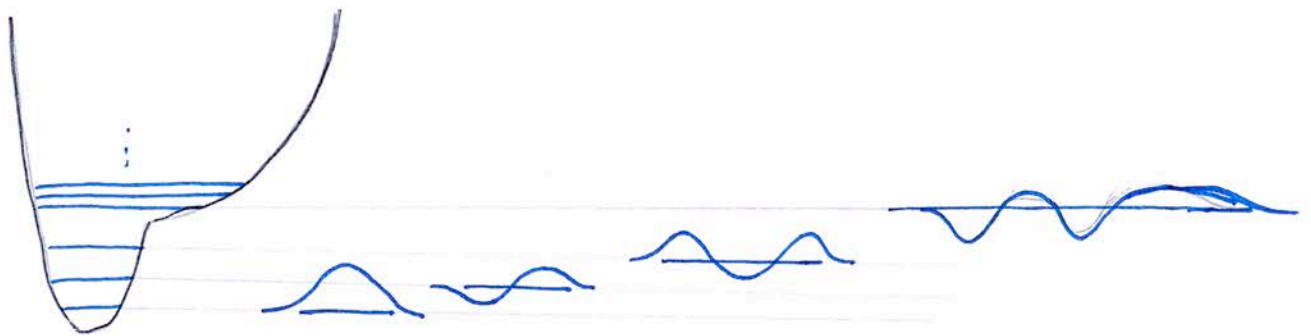
- Teilchen im harmonischen Oszillator: $V(x) = \frac{1}{2} m \omega^2 x^2$
 - $E_n = \hbar \omega [n + \frac{1}{2}]$ → Energieniveaus äquidistant
 - ω hängt von der Krümmung von V ab
 - ψ_n sind Hermite-Funktionen

- Teilchen im (unendlich hohen) Kastenpotential 

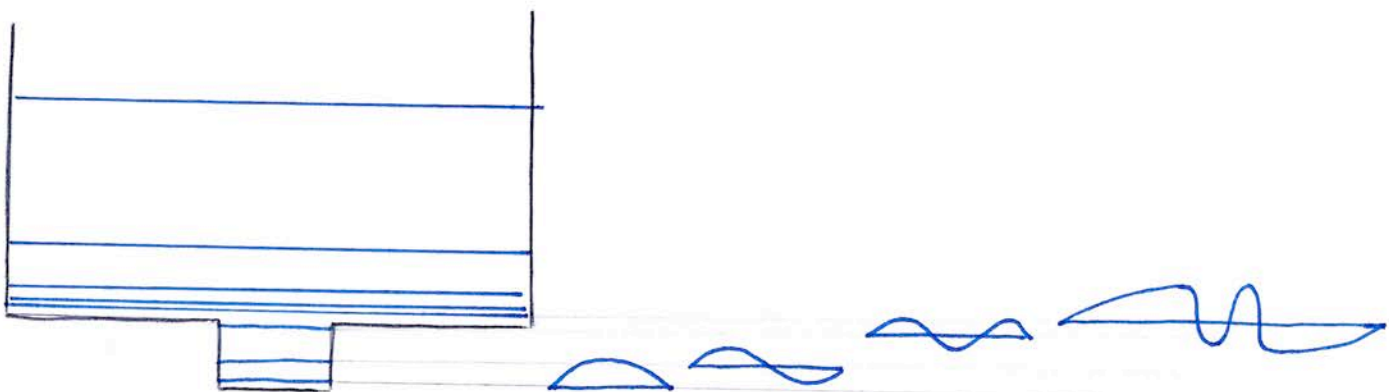
$$E_n = n^2 \frac{h^2}{8ma^2}, \quad \psi_n(x) = \sqrt{\frac{2}{a}} \sin\left(\frac{n\pi x}{a}\right)$$

L →

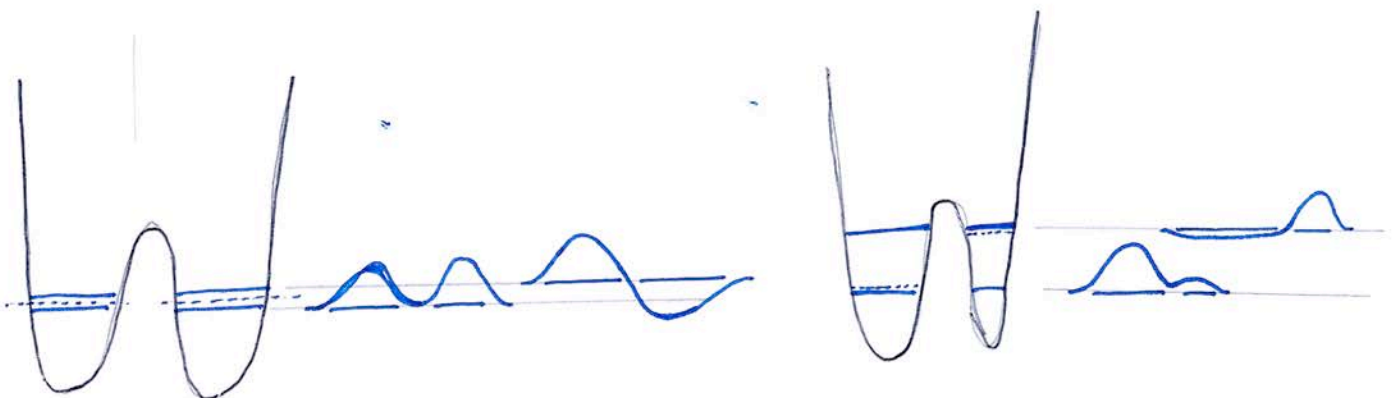
(i)



(iii)



(ii)



Anmerkung:

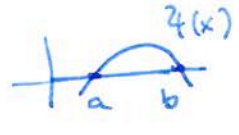
Auch für allgemeinere Potentiale $V(x)$ gelten die Knotensätze:

- (i) Seien a, b benachbarte Nullstellen der reellen Eigenfunktion $\psi(x)$ zur Energie E . Jede andere Eigenfunktion $\tilde{\psi}(x)$ mit Energie $\tilde{E} > E$ besitzt mindestens einen Knoten zwischen a, b .
- (ii) Der Grundzustand ψ_0 besitzt keinen Knoten, der l -te angeregte Zustand hat genau l Knoten.

Beweis-Skizze für (i):

Annahme: $\tilde{\psi}$ hat keinen Knoten in (a, b) ; o. B. d. A

$\psi(x) > 0, \tilde{\psi}(x) > 0 \quad a < x < b \rightarrow \begin{matrix} \psi'(a) > 0 \\ \psi'(b) < 0 \end{matrix}$




$\psi, \tilde{\psi}$ sind Lösungen der Schrödinger Gleichung

$$\begin{aligned} -\tilde{\psi}'' + (V(x) - \tilde{E}) \frac{2m}{\hbar^2} \tilde{\psi} &= 0 && | \cdot \psi \\ -\psi'' + (V(x) - E) \frac{2m}{\hbar^2} \psi &= 0 && | \cdot \tilde{\psi} \end{aligned}$$

$$\rightarrow -\tilde{\psi}'' \psi + \tilde{\psi} \psi'' - \frac{2m}{\hbar^2} (\tilde{E} - E) \tilde{\psi} \psi = 0$$

Partielle Integration:

$$\underbrace{-\tilde{\psi} \psi' \Big|_a^b}_{=0} + \underbrace{\tilde{\psi}' \psi \Big|_a^b}_{<0} = \underbrace{\frac{2m}{\hbar^2} (\tilde{E} - E) \int_a^b dx \tilde{\psi}(x) \psi(x)}_{>0}$$


Details: Siehe Rollnick "Quantentheorie 1"

Lösung Nr. 2

Für ein freies, nicht-relativistisches Teilchen ist:

$$\cdot \hbar\omega = \frac{\hbar^2 \vec{k}^2}{2m}$$

$$\cdot \vec{v}_{gr} = \partial_{\vec{k}} \omega = \frac{\hbar \vec{k}}{m}$$

Allgemeiner Fall:

$$\begin{aligned}
|\psi(\vec{r}_i, t)|^2 &= |\psi_1(\vec{r}_i, t) + \psi_2(\vec{r}_i, t)|^2 \\
&= |\psi_1(\vec{r}_i, t)|^2 + |\psi_2(\vec{r}_i, t)|^2 + \underbrace{\psi_1(\vec{r}_i, t) \psi_2^*(\vec{r}_i, t) + \psi_1^*(\vec{r}_i, t) \psi_2(\vec{r}_i, t)}_{\text{verursacht Interferenz}}
\end{aligned}$$

$$\psi_1(\vec{r}_i, t) \psi_2^*(\vec{r}_i, t) + \psi_1^*(\vec{r}_i, t) \psi_2(\vec{r}_i, t)$$

$$= \phi(\vec{r} - \vec{v}_1 t - \vec{R}_1) \phi(\vec{r} - \vec{v}_2 t - \vec{R}_2) \left[\underbrace{e^{i(\vec{k}_1 \vec{r} - \omega_1 t)} e^{-i(\vec{k}_2 \vec{r} - \omega_2 t)} + \text{h.c.}}_{= 2 \cos [(\vec{k}_1 - \vec{k}_2) \cdot \vec{r} - (\omega_1 - \omega_2)t]} \right]$$

"Überlapp der Gaußglocken"

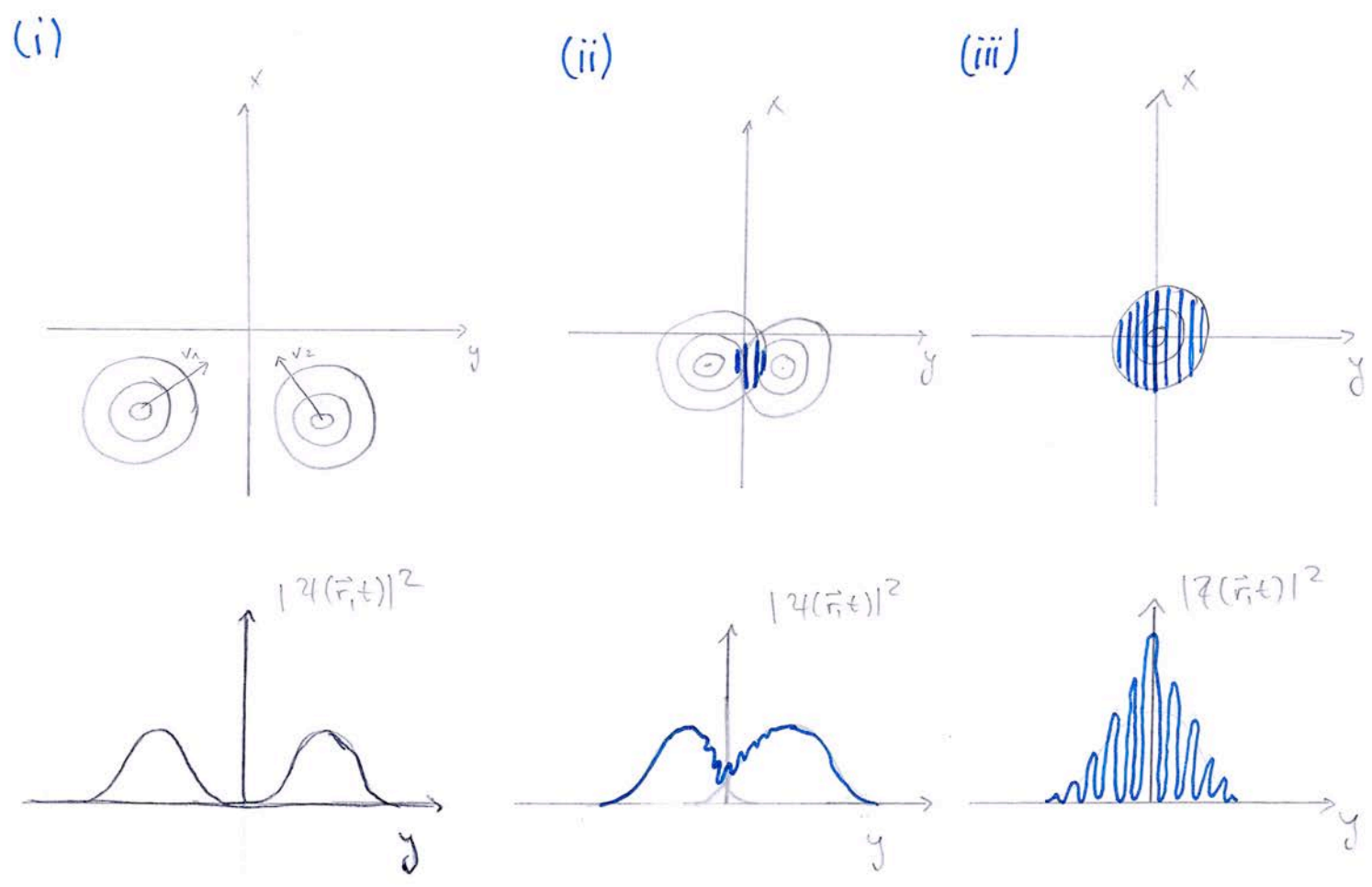
↑
Interferenzmuster

→ Interferenzmuster ist identisch in einer Ebene $\perp (\vec{k}_1 - \vec{k}_2)$

→ Abstand der Interferenzmaxima: $\frac{2\pi}{|\vec{k}_1 - \vec{k}_2|}$

In 2 Dimensionen:

$$|\psi(\vec{r}, t)|^2 = \phi^2\left(\begin{pmatrix} x \\ y \end{pmatrix} - \frac{\hbar t}{m} \begin{pmatrix} k_x \\ k_y \end{pmatrix}\right) + \phi^2\left(\begin{pmatrix} x \\ y \end{pmatrix} - \frac{\hbar t}{m} \begin{pmatrix} k_x \\ -k_y \end{pmatrix}\right) + \phi\left(\begin{pmatrix} x \\ y \end{pmatrix} - \frac{\hbar t}{m} \begin{pmatrix} k_x \\ k_y \end{pmatrix}\right) \phi\left(\begin{pmatrix} x \\ y \end{pmatrix} - \frac{\hbar t}{m} \begin{pmatrix} k_x \\ -k_y \end{pmatrix}\right) \cdot 2 \cos(2k_y \cdot y)$$

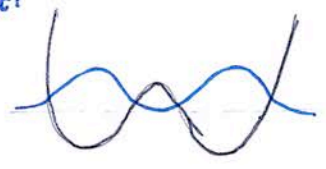


Bei der Abschwächung eines Wellenpakets, verringert sich die Amplitude des Interferenzterms. Im Fall des völligen Überlapps (iii) gibt es dann keine vollständige destruktive Interferenz.

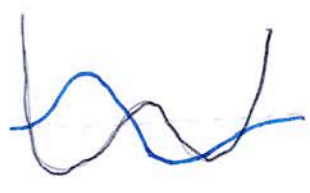
Lösung Nr. 3

Da es sich um ein symmetrisches Potential handelt:

Grundzustand: $|+\rangle = \frac{1}{\sqrt{2}} (|L\rangle + |R\rangle)$



erster angeregter Zustand: $|-\rangle = \frac{1}{\sqrt{2}} (|L\rangle - |R\rangle)$



Normierung N ergibt sich aus $|\langle + | + \rangle|^2 = 1$ unter $|\langle - | - \rangle|^2 = 1$

Zuhilfenahme der Orthonormalität von $|L\rangle, |R\rangle$.

$$|\langle + | + \rangle|^2 = \frac{1}{\sqrt{2}^2} \left[\underbrace{\langle L | L \rangle}_1 + \underbrace{\langle R | R \rangle}_1 + \underbrace{\langle L | R \rangle}_{=0} + \underbrace{\langle R | L \rangle}_{=0} \right] \stackrel{!}{=} 1$$

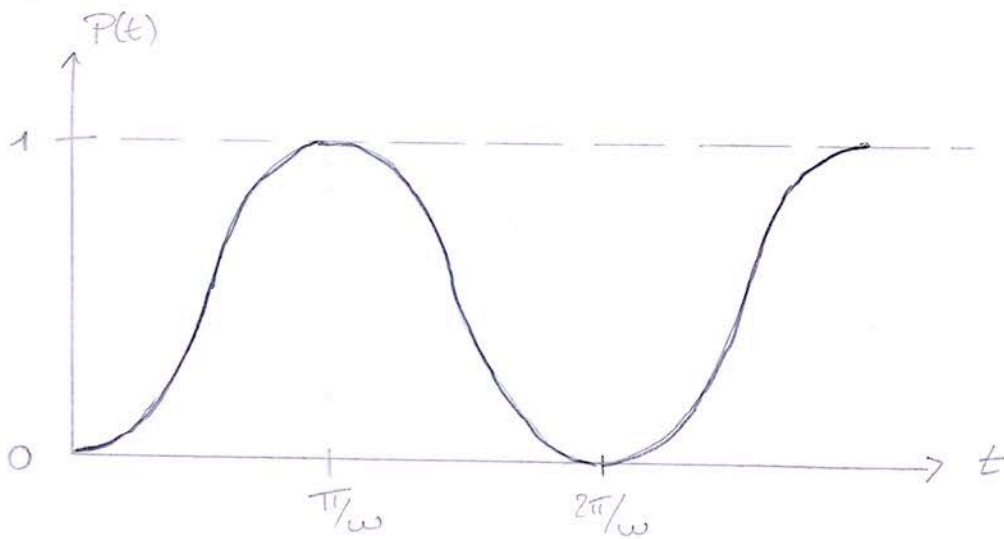
$N = \sqrt{2}$

Analog für $|\langle - | - \rangle|^2$.

- Ein Verschieben des Energie-Nullpunkts führt nur zu einer globalen Phase in der Wellenfunktion.
 - Die Energieaufspaltung verringert sich mit ~~mit~~ kleinerer Tunnelwahrscheinlichkeit, d.h. mit breiter werdenden Potentialbarriere.
 - Die Energieaufspaltung lässt sich durch die WKB-Näherung berechnen.
- ⌈ Dieses Beispiel ist ausführlich in Landau Lifshitz Vol 3, §50 Problem 3 vorgerechnet. ⌋

Wahrscheinlichkeit das Teilchen in der linken Mulde zu finden:

$$\begin{aligned} P(t) &= |\langle L | \psi(t) \rangle|^2 = |\langle L | e^{-i\hat{H}t/\hbar} | R \rangle|^2 \\ &= \left| \frac{1}{\sqrt{2}} (\langle + | + \langle - |) \frac{1}{\sqrt{2}} (| + \rangle - e^{-i\omega t} | - \rangle) \right|^2 \\ &= \left| \frac{1}{2} (1 - e^{-i\omega t}) \right|^2 \\ &= \left| \frac{1}{2} e^{-i\omega t/2} (e^{i\omega t/2} - e^{-i\omega t/2}) \right|^2 = \underline{\sin^2(\omega t/2)} \end{aligned}$$



Die Aufenthaltswahrscheinlichkeit des Teilchens oszilliert zwischen linker und rechter Mulde mit Kreisfrequenz ω .